

**МАГНИТООСЦИЛЛЯЦИИ И АНИЗОТРОПИЯ АНОМАЛИИ ПРИ
НУЛЕВОМ СМЕЩЕНИИ В ТУННЕЛЬНЫХ ПЕРЕХОДАХ
n-GaAs/Au В КВАНТУЮЩЕМ МАГНИТНОМ ПОЛЕ**

И.Н.Котельников, А.С.Рылик, А.Я.Шульман

Институт радиотехники и электроники РАН

103907 Москва, Россия

Поступила в редакцию 14 октября 1993 г.

Измерения туннельных спектров переходов *n*-GaAs/Au в магнитных полях $B \leq 140$ кГс и при температуре 4,2К показали, что при ориентации магнитного поля $B \parallel I$ аномалия при нулевом смещении изменяется в несколько раз сильнее с ростом B , чем при $B \perp I$, где I – туннельный ток. В области аномалии при нулевом смещении при $B \perp I$ обнаружены также магнитоосцилляции и линейчатая структура туннельного спектра.

Туннельная спектроскопия переходов металл – полупроводник является мощным инструментом исследования многочастичных эффектов в электронной плазме полупроводника [1]. За последние годы значительно возрос интерес к туннельным явлениям в полупроводниковых структурах, поскольку современная технология позволила реализовать ряд модельных туннельных систем на структурах с пониженной размерностью (см., например, [2,3]), что открывает дополнительные возможности экспериментальной проверки основных представлений, положенных в основу теории туннелирования. Однако и в "классических" туннельных системах до настоящего времени остается предметом дискуссии аномалия при нулевом смещении (АНС), наблюдаемая в туннельных спектрах переходов с барьером Шоттки на основе сильно легированного GaAs *n*- и *p*-типа. Такая АНС соответствует пику туннельного сопротивления перехода, для которого уровень легирования полупроводника значительно превышает критическую концентрацию, соответствующую переходу Мотта. В работе [4] было показано, что ни один из предложенных в литературе механизмов, приводящих к пику туннельного сопротивления при нулевом смещении, не объясняет экспериментальные данные для туннельных переходов *p*-GaAs/металл. Как было отмечено в работе Харрисона [5], выражение для туннельного тока в случае квазиклассически плавных барьера, каковым является и барьер Шоттки, не содержит плотности состояний. Следовательно, предсказанное Альтшуллером и Ароновым [6] изменение плотности состояний вблизи энергии Ферми полупроводникового электрода за счет электрон-электронного взаимодействия также не может являться причиной АНС в переходах сильнолегированный GaAs/металл.

Иной подход к этой проблеме был развит в работе [7], где численный расчет самосогласованного барьера Шоттки с учетом обменно-корреляционного потенциала показал наличие особенности в форме барьера вблизи энергии Ферми полупроводника. Это позволило авторам [7] связать АНС с влиянием электрон-электронного взаимодействия в плазме свободных носителей полупроводникового электрода на форму барьера Шоттки.

При анализе туннельных спектров переходов *n*- и *p*-GaAs/Au в [8] было найдено, что АНС в таких системах имеет более сложную, чем обычно считается, структуру, включающую помимо пика туннельного сопротивления

R резкое изменение наклона характеристик $R(V)$ при напряжении смещения $V = 0$. Кроме того, было показано, что площадь под пиком АНС не сохраняется при температурном уширении спектральной линии. Также было обнаружено [9], что амплитуда АНС в переходах $n\text{-GaAs}/\text{Au}$ экспоненциально падает с ростом температуры. Указанные особенности поведения АНС дают основания интерпретировать наблюдаемую аномалию как проявление искажения формы самосогласованного барьера Шоттки за счет электрон-электронного взаимодействия. Однако для решения вопроса о природе АНС в таких системах необходимо было найти возможность изменения структуры или величины АНС за счет внешних взаимодействий, например квантующего магнитного поля. В настоящей работе сообщается о первых результатах, полученных при исследовании влияния магнитного поля ≤ 140 кГс на тунNELьные спектры переходов $n\text{-GaAs}/\text{Au}$ с концентрацией доноров в $\text{GaAs} \approx 7 \cdot 10^{18} \text{ см}^{-3}$.

О бразцы и методика измерений. При изготовлении тунNELьных переходов $n\text{-GaAs}/\text{Au}$ использовались пластины $n\text{-GaAs}$ ($9 \times 9 \times 0,5$ мм) с поверхностью (100) и концентрацией доноров ($\text{Te}) \approx 7 \cdot 10^{18} \text{ см}^{-3}$ (по данным холловских измерений при комнатной температуре). На обратной стороне подложки вжигался омический контакт Au:Ge:Ni . Тонкая ($100 \div 200 \text{ \AA}$) пленка Au напылялась в вакууме $\approx 10^{-10} \text{ мм.рт.ст.}$ на очищенную прогревом фронтальную поверхность пластины $n\text{-GaAs}$ [10]. Контроль состава поверхности GaAs с помощью оже-спектрометра перед напылением Au показал лишь слабое, менее монослоя, загрязнение атомами углерода. Методом фотолитографии на покрытых Au подложках $n\text{-GaAs}$ изготавливались тунNELьные переходы с диаметром золотого электрода $0,2$ мм. Два медных контакта к такому электроду выводились на слой SiO (толщиной $0,2$ мкм), нанесенный вокруг золотого электрода методом высокочастотного распыления. Изготовленные тунNELьные переходы имели дифференциальные сопротивления dV/dI (при напряжении смещения на переходе $V = 0$) от ≈ 30 до ≈ 50 Ом при температуре $T = 4,2$ К.

Измерения зависимости первой и второй производных (dV/dI и d^2V/dI^2) тунNELьных ВАХ от V проводились четырехконтактным методом путем синхронного детектирования синусоидальных сигналов на тунNELьном переходе (с частотой f и $2f$) в режиме заданного тока, модулированного с частотой $f \approx 200$ Гц. Величина амплитуды модулирующего напряжения на переходе не превышала 1 мВ. Образцы устанавливались в гелиевый криостат со сверхпроводящим соленоидом и измерялись в ориентациях $B \perp I$ или $B \parallel I$.

Результаты и их обсуждение. Проведенные исследования позволили выявить две интересные особенности поведения тунNELьных спектров в сильном магнитном поле: их зависимость от ориентации магнитного поля B относительно тунNELьного тока I и осциллирующую с B зависимость $d^2V/dI^2(B)$ при $V = 0$.

На рис.1 приведены тунNELьный спектр $S(V) = d^2V/dI^2$ при $B = 0$ и разности $\Delta S = S_B - S_0$ при $B = 120$ кГс для обеих ориентаций магнитного поля. Видно, что при $B \parallel I$ наблюдается значительный рост амплитуды АНС с магнитным полем при относительно неизменных спектральных линиях фононных особенностей при $V = \hbar\omega_{LO}/e = \pm 36,5$ мВ. Такое усиление аномалии при нулевом смещении в квантующем магнитном поле согласуется с ожидаемым возрастанием роли обменно-корреляционного взаимодействия в этих условиях.

В случае $B \perp I$ картина меняется (см. рис.1). Амплитуда АНС почти не зависит от B , а вызванные магнитным полем изменения в тунNELьном

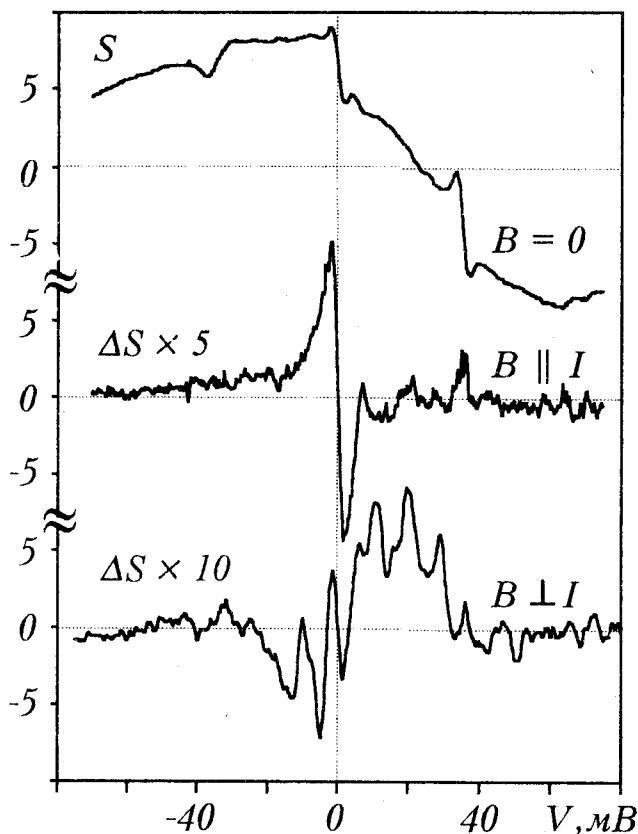


Рис.1. Туннельный спектр $S(V) = d^2V/dI^2(V)$ перехода n -GaAs/Au при $B = 0$ и изменение туннельного спектра $\Delta S(V) = S(V)_B - S(V)_0$ в магнитном поле $B = 120$ кГс ($B \parallel I$ и $B \perp I$)

спектре, почти в 2,5 раза меньшие по величине, сосредоточены в области смещений ± 40 мВ и имеют вид почти равноотстоящих пиков на фоне плавного хода. Как показали измерения, от магнитного поля зависит только амплитуда этих пиков, а не их положение по V . При $V = 0$ измерения зависимости d^2V/dI^2 от B неожиданно выявили осцилляционное поведение, тогда как те же зависимости при больших смещениях $V \simeq \pm 60$ мВ имеют монотонный характер (см. рис.2). Отметим, что магнитоосцилляции возникают при достаточно малых магнитных полях $B \simeq 20$ кГс, когда квантование электронного спектра в объеме полупроводника еще подавлено рассеянием импульса носителей. Для исследованных структур условие $\omega_c\tau \simeq 1$ соответствует $B \simeq 70$ кГс, поскольку холловская подвижность в n -GaAs составляла $\simeq 1,5 \cdot 10^3$ см²/В·с, здесь ω_c – циклотронная частота и τ – время рассеяния импульса электронов в n -GaAs.

Измерения показали, что структура кривой при $V = 0$ на рис.2 хорошо воспроизводится при многократном сканировании магнитного поля. Однако, после отогрева образца до комнатной температуры она повторяется лишь в общем виде. Это видно на рис.3, где вместо d^2V/dI^2 построены нормированные зависимости $d \ln \sigma / dV$ (σ – туннельный контактанс перехода), которые лучше выявляют осцилляции, так как устраняют монотонный ход, связанный с магнитосопротивлением туннельного перехода. Кривая 2 была измерена через 3 месяца после кривой 1 и с использованием другого соленоида. Пока

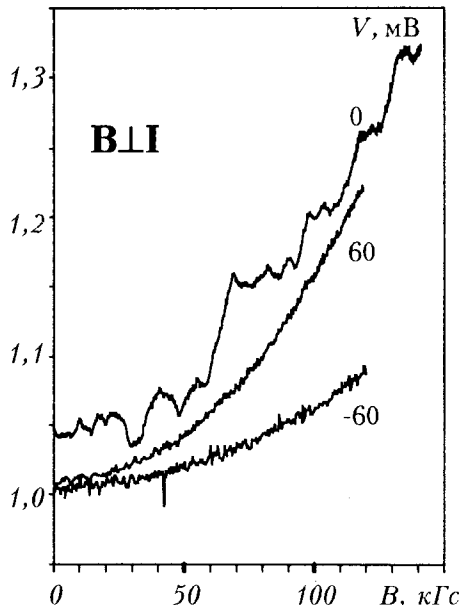
$S(B)/S(0)$ 

Рис. 2

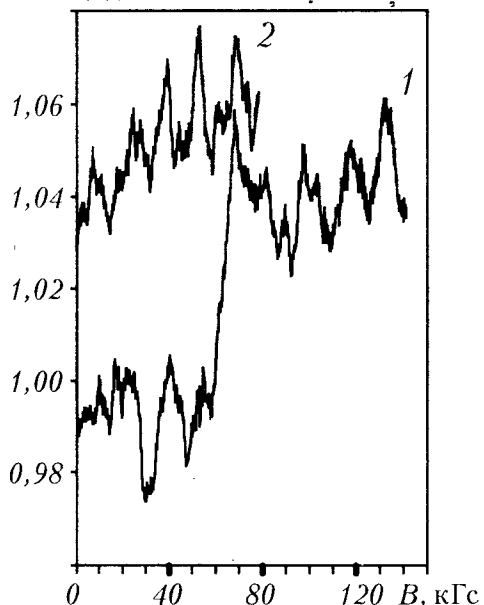
 $d \ln(\sigma) / dV$ 

Рис. 3

Рис.2. Зависимость d^2V/dI^2 от B в отдельных точках по V туннельного спектра в случае ориентации магнитного поля вдоль поверхности перехода ($B \perp I$) при $V = 0$, $V \approx 60$ и -60 мВ. Кривая при $V = 0$ смещена вверх на 0,05 для наглядности

Рис.3. Повторяемость магнитоосцилляций при повторных измерениях после отогрева перехода до комнатной температуры. Кривая 1 – та же, что и для $V = 0$ на рис.2, но перестроенная в координатах $d \ln(\sigma) / dV$, когда магнитоосцилляции лучше видны. Кривая 2 – повторное измерение того же перехода (см. текст) и смещена вверх на 0,03

трудно с определенностью интерпретировать обнаруженные осцилляции. Можно отметить их квазимезоскопический характер, а также получить грубую оценку линейных размеров замкнутых траекторий туннелирующих электронов, если принять, что осцилляции связаны с квантованием магнитного потока, охватываемого ими. Взяв для периода осцилляций величину порядка 20 кГц, получаем линейные размеры порядка 100 Å, что сравнимо с шириной барьера Шоттки на уровне Ферми в наших условиях.

Следует также отметить, что даже при $B = 140$ кГц для обеих ориентаций магнитного поля на туннельных спектрах отсутствовали следы расщепления электронного спектра в GaAs на уровня Ландау, хотя при этих полях $\omega_c\tau \approx 2$. Такой результат и следовало ожидать в виду квазиклассического характера барьера Шоттки, что, согласно [5], исключает проявление особенностей плотности состояний электронов полупроводника в туннельном токе.

1. E.L.Wolf, Sol. St. Phys. **30**, (1975), Acad. Press, N.Y. p.2–91.
2. W.Demmerle, J.Smoliner, G.Berthold et al., Phys. Rev. B **44**, 3090 (1991).
3. G.S.Boebinger, A.Passner, L.N.Pfeifer, and K.W.West, Phys. Rev. B**43**, 12673 (1991).
4. T.Carruthers, Phys. Rev. B**10**, 3356 (1974).
5. W.A.Harrison, Phys. Rev. **123**, 85 (1961).

6. B.L.Al'tshuler and A.G.Aronov, Sol. St. Comm. **30**, 115 (1979).
7. А.Я.Шульман, В.В.Зайцев, Sol. St. Comm. **18**, 1623 (1976).
8. I.N.Kotel'nikov and A.Ya.Shul'man, Proc. 19-th Intern. Confer. Phys. Semicond., ed by W.Zawadzki, Warsaw, Poland, Institute Phys. Polish. Ac. Sci., 1988, v.1, p.681.
9. И.Н.Котельников, В.В.Кашеваров, А.Я.Шульман, Сб. докладов 23 Всесоюзного Совещания по физике низких температур, Таллин, 1984, т.2, с.46.
10. И.Н.Котельников, И.Л.Бейнихес, А.Я.Шульман, ФТТ, **27**, 401 (1985).